

(239)

## 極低炭素鋼の溶製 (RH精鍊反応解析-1)

住友金属工業㈱ 鹿島製鉄所 山崎 熱 戸崎泰之 城田良康  
○青木伸秀 渡辺吉夫

I 緒言 冷延鋼板の材料特性向上を目的として、極低炭素鋼の製造技術の確立が望まれている。今回、RH脱炭速度におよぼす真空度、Arガス流量の影響を調査した。

### II RHにおける脱炭挙動

1. 脱炭速度定数 RHにおける操業条件をTable 1に示す。  
RHにおける脱炭反応を一次反応とみなし、見掛けの脱炭速度定数をKとすると脱炭速度は(1)式で与えられる。

$$\frac{d[C]_L}{dt} = -K([C]_L - [C]_E) \quad (1)$$

Table 2に初期炭素濃度400 ppm以下の場合の脱炭速度定数におよぼす真空度、Arガス流量の影響を示す。目標とする[C]レベル、能率、操業の安定性を考慮して最適K( $\text{min}^{-1}$ )値を選択することができる。

2. 極低炭素鋼溶製時の到達[C]-[O]値 RH15分処理で90%程度脱炭でき、Fig. 1に示されるように、到達[C]-[O]はCO分圧に換算して約0.04気圧である。  
20 ppm以下の極低炭素鋼を溶製するには初期炭素濃度は300 ppm以下、脱炭末期の酸素濃度500 ppm以上確保が必要である。又、[C]-[O]の減少割合は等モル反応より偏倚して  $A[O]/A[C] \neq 1.0$  ( $A[O]$ :酸素減少重量濃度、 $A[C]$ :炭素減少重量濃度)であり、スラグ、耐火物からの酸素供給を示している。

3. RH脱炭反応モデル 取鍋内、真空槽内とともに溶鋼は完全混合と仮定し、真空槽のみで脱炭が進行するすれば、物質収支より(2)、(3)式が得られる。

$$W(d[C]_L/dt) = Q([C]_V - [C]_L) \quad (2)$$

$$w(d[C]_V/dt) = Q([C]_L - [C]_V) - Ak([C]_V - [C]_E) \quad (3)$$

(2)、(3)式を初期条件  $t = 0$  で  $[C]_L = [C]_V = [C]_0$  の条件で解き、一例をFig. 2に実測値と対比して示す。計算値と実測値はほぼ一致しているが、脱炭初期は実測値の[C]が計算値より低目になっている。これは脱炭初期の活発なCO気泡発生により見掛けのAkが増大したためと考えられる。末期の脱炭促進には酸化物粉上吹法<sup>(1)</sup>も有効と考えられる。

III 結言 RH脱炭速度におよぼす操業要因を解析し、極低炭素鋼最適溶製法の指針を得た。

(記号) [C]: C濃度、[O]: O濃度、W, w: 取鍋、真空槽内重量、Q: 環流速度、Ak: 脱炭反応の容量係数、t: 時間、添字のL: 取鍋 E: 平衡、V: 真空槽

(参考文献) 1) 青木、松尾、真目: 鉄と鋼、69(1983)S 178 Fig. 2 Change of [C], [O] during RH treatment

Table 1 Operating condition

heat size	250T
diameter of snorkel	500 mmφ
nozzle condition	3mmφ × 6-12
gas flow rate	600 ~ 2700 Nl/min
working pressure	0.2 ~ 150 Torr

Table 2 Apparent decarburization rate coefficient

Ar flow rate (Nl/min)	Pressure (torr)		
	± 600	± 1000	± 2000
< 1	.10 ~ .15	.14 ~ .17	.22
± 10	.12		.16 ~ .17
± 100	.05	.06 ~ .07	

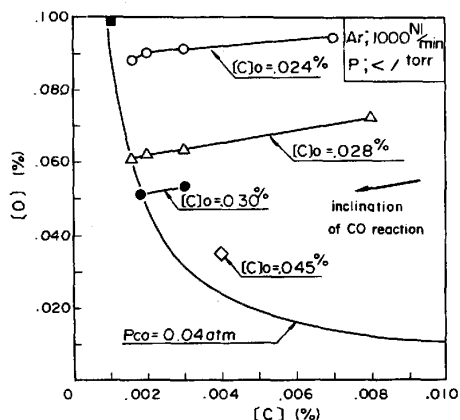


Fig. 1 [C]-[O] relation during RH decarburization

